



# Amélioration du transport aérien

Année : 2018/2019

Thème : Transport

Numéro d'inscription: 44052

# Problématique

- Comment peut-on modéliser l'écoulement de l'air autour d'une aile d'avion pour retrouver les différentes forces exercées sur lui?
- Peut-on exploiter l'apprentissage statistique pour retrouver la forme optimale pour l'aile ?

# Contributions

- Etude de la mécanique des fluides pour modéliser l'écoulement de l'air autour de l'aile
- Réalisation d'une expérience pour la recherche des forces exercées sur l'aile
- Etude de l'apprentissage statistique pour trouver la forme optimale pour l'aile d'avion

# Plan de travail

1- Modélisation physique du problème

2- La recherche des expressions des forces exercées sur l'aile par différentes méthodes

3- La recherche de la forme optimale par l'apprentissage statistique

## 1- Modélisation physique du problème

### ❖ L'équation de Navier stockes :

$$\rho \left( \frac{\partial \vec{V}}{\partial t} + (\vec{V} \cdot \overrightarrow{\text{grad}}) \vec{V} \right) = - \overrightarrow{\text{grad}}(P) + \rho \vec{g} + \mu \Delta \vec{V}$$

- Ecoulement incompressible



$$\text{div}(\vec{V}) = 0$$



-  $\vec{u}$ : fonction de courant



$$\vec{V} = \overrightarrow{\text{rot}}(\vec{u})$$

-  $\overrightarrow{\text{rot}}(\vec{V}) = 0$



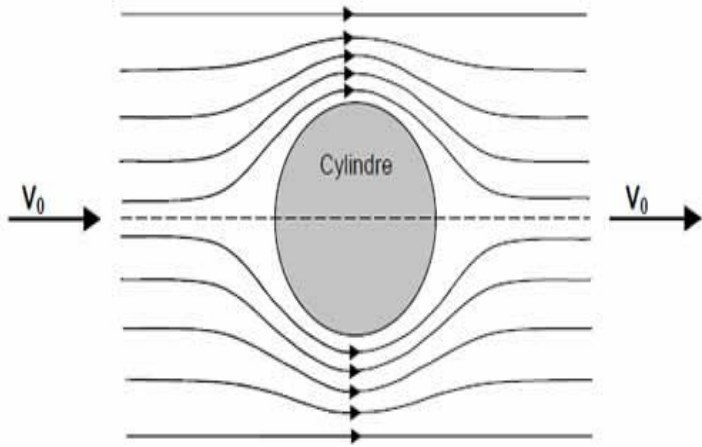
$$\vec{V} = - \overrightarrow{\text{grad}}(\Phi)$$

avec  $\Phi$  le potentiel d'écoulement

-  $\vec{w} = \overrightarrow{\text{rot}}(\vec{V})$  le vecteur tourbillon

## 2- La recherche des expressions des forces exercées sur l'aile par différentes méthodes

### ❖ Potentiel complexe et écoulement autour d'un cylindre



Écoulement 2 dimensionnel  $\longrightarrow \vec{u}$  selon  $\vec{e_z}$

Potentiel complexe  $W = \Phi + i\psi$

$$\frac{dW}{dz} = v_x - i v_y$$

$\Phi$  vérifie l'équation de Laplace  $\longrightarrow \Phi = -V_0 \left( r + \frac{R^2}{r} \right)$

$W = V_0 \left( z + \frac{R^2}{z} \right) - \frac{i\Gamma}{2\pi}$   $\Gamma$  est ici la circulation du champs de vitesse autour du cylindre

Théorème de Bernoulli  $\longrightarrow \begin{aligned} F_x &= 0 \\ F_y &= -\rho V_0 \Gamma \end{aligned}$

C'est le paradoxe de d'Alembert: pour un fluide parfait en écoulement, l'obstacle ne subit aucune force de frottement

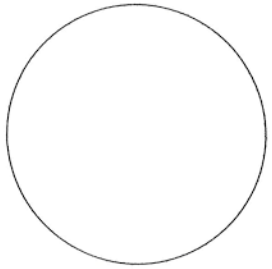
## 2- La recherche des expressions des forces exercées sur l'aile par différentes méthodes

### ❖ Transformée de Joukowski

La transformée de Joukowski est donnée par l'équation

$$Z = z + \frac{R^2}{z} \longrightarrow \text{Transformation conforme}$$

un profil cylindrique de rayon  $a + \lambda$  centré en  $-\lambda$   $\longrightarrow z = -\lambda + (a + \lambda)e^{i\gamma}$



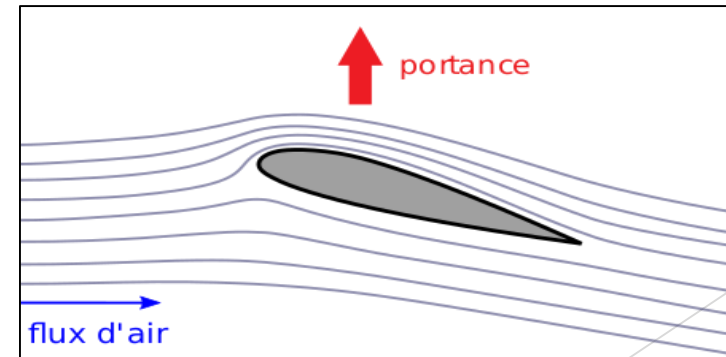
Joukowski



Si on impose l'absence de divergence dans le nouveau  $W$ , on obtient :

$$\Gamma = -4\pi(a + \lambda) \sin(\alpha) V_0 \quad \text{avec } \alpha \text{ l'angle d'attaque}$$

Cette condition est appelée condition de Kutta, elle postule que le contour de l'aile est une ligne de courant



$F_y = \rho 4\pi(a + \lambda) \sin(\alpha) V_0^2$  est la portance par unité de longueur

$$\text{En général : } \vec{F} = \frac{1}{2} \rho S C_z V^2$$

## 2- La recherche des expressions des forces exercées sur l'aile par différentes méthodes

### ❖ Force de trainée

Loi de Stokes :

$$\vec{F} = -6\pi\mu R\vec{V} \text{ avec } R = \frac{\rho LV}{\mu} \text{ le nombre de Raynolds}$$

cette formule est valable pour  $R < 1$

$$\text{dans le domaine étudié: } \vec{F} = \frac{1}{2}\rho S C_x V^2$$
$$C_x = C_{xv} + C_{xp} + C_{xi}$$

$C_{xv}$ : trainée due à viscosité

$C_{xp}$ : trainée due à la pression

$C_{xi} = \frac{C_z^2}{\pi\lambda}$  : trainée induite par la portance

$\lambda = \frac{E^2}{S}$  : allongement aérodynamique, E est l'envergure de l'avion



## 2- La recherche des expressions des forces exercées sur l'aile par différentes méthodes

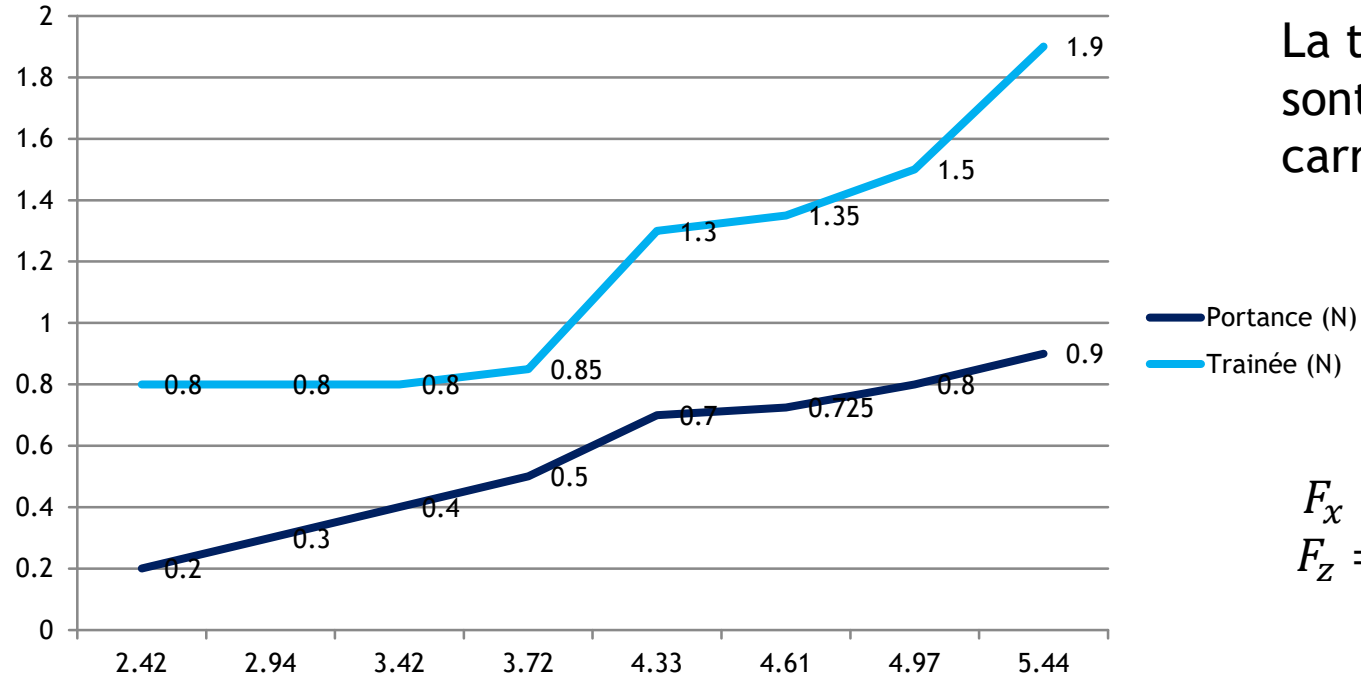
### ❖ Expérience



On mesure la portance et la trainée en fonction de la vitesse

Vitesse du vent (m/s)	2,42	2,94	3,42	3,72	4,33	4,61	4,97	5,44
Portance (N)	0,2	0,3	0,4	0,5	0,7	0,725	0,8	0,9
Trainée (N)	0,8	0,8	0,8	0,85	1,3	1,35	1,5	1,9

## 2- La recherche des expressions des forces exercées sur l'aile par différentes méthodes



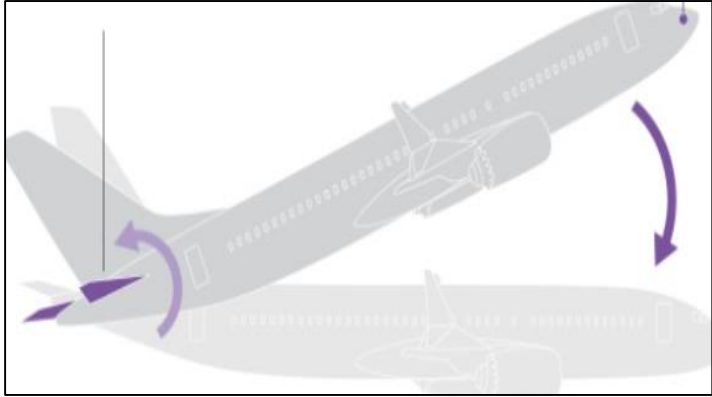
$$\alpha = 0,064$$
$$\beta = 0,034$$

La trainée et la portance sont proportionnels au carré de la vitesse

$$F_x = \alpha V^2$$
$$F_z = \beta V^2$$

## 2- La recherche des expressions des forces exercées sur l'aile par différentes méthodes

### ❖ **Commentaire sur la Boeing 737**



Un angle d'attaque trop important augmente la surface d'attaque de l'avion et donc augmente la traînée.  
Le MACAS est un système conçu pour redresser l'avion si l'angle devient trop grand.

A cause des fausses données, le MACAS a trop diminué l'angle d'attaque ce qui a diminué la portance et donc il y avait une perte d'équilibre ce qui a causé les accidents,

## 2- La recherche des expressions des forces exercées sur l'aile par différentes méthodes

### ❖ Première tentative de résolution numérique : la méthode des différences finies

En revenant à  $u$  et  $w$ , on obtient les deux équations suivantes

$$\begin{cases} \Delta \vec{u} = -w \\ \mu \Delta \vec{w} = (\overrightarrow{rot}(\vec{u}) \cdot \overrightarrow{grad})(\vec{w}) \end{cases}$$

Les équations sont scalaires car  $\vec{u}$  et  $\vec{w}$  sont selon  $\vec{e}_z$

on effectue un développement de Taylor à l'ordre 2

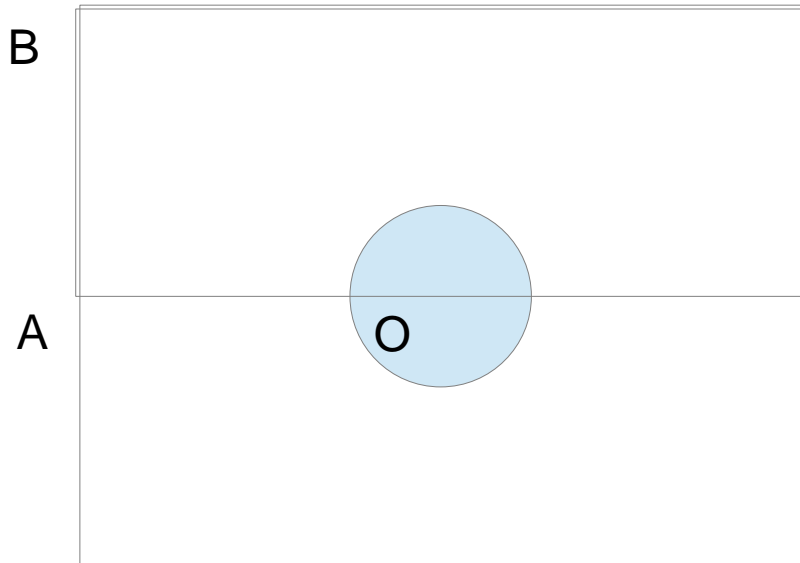
$$\begin{cases} u(x+h) = u(x) + \frac{\partial u}{\partial x} h + \frac{\partial^2 u}{\partial x^2} h^2 \\ u(x-h) = u(x) - \frac{\partial u}{\partial x} h + \frac{\partial^2 u}{\partial x^2} h^2 \\ \frac{\partial^2 u}{\partial x^2} = \frac{u(x+h) + u(x-h) - 2u(x)}{h^2} \\ \frac{\partial u}{\partial x} = \frac{u(x+h) - u(x-h)}{2h} \end{cases}$$

## 2- La recherche des expressions des forces exercées sur l'aile par différentes méthodes

### ❖ Schéma numérique

$$u_{i,j} = \frac{1}{4}(u_{i,j+1} + u_{i,j-1} + u_{i+1,j} + u_{i-1,j} + h^2 w_{i,j})$$

$$w_{i,j} = \frac{1}{4}(w_{i+1,j} + w_{i-1,j} + w_{i,j+1} + w_{i,j-1}) - \frac{1}{16\mu} [(u_{i,j+1} - u_{i,j-1})(w_{i+1,j} - w_{i-1,j}) - (u_{i+1,j} - u_{i-1,j})(w_{i,j+1} - w_{i,j-1})]$$



AB :	$\frac{\partial u}{\partial x}=0$	$w=0$
BC :	$\frac{\partial u}{\partial y}=0$	$w=0$
CD :	$\frac{\partial u}{\partial x}=0$	$\frac{\partial w}{\partial x}=0$
AD :	$u=0$	$w=0$

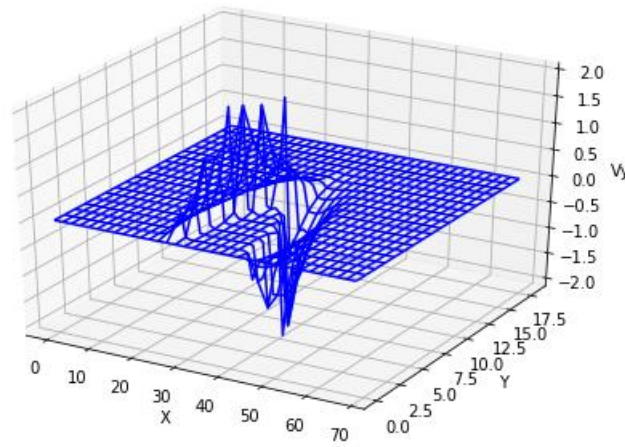
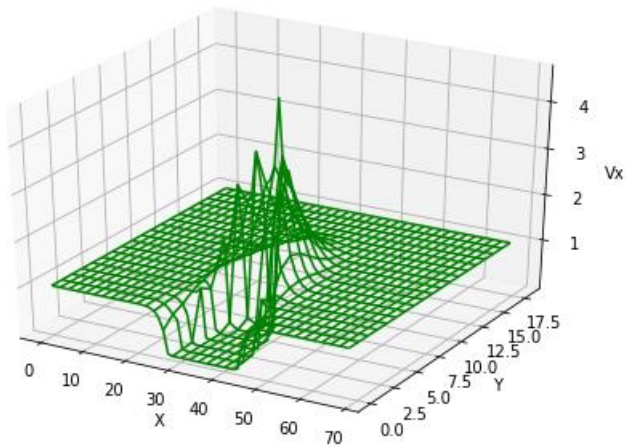
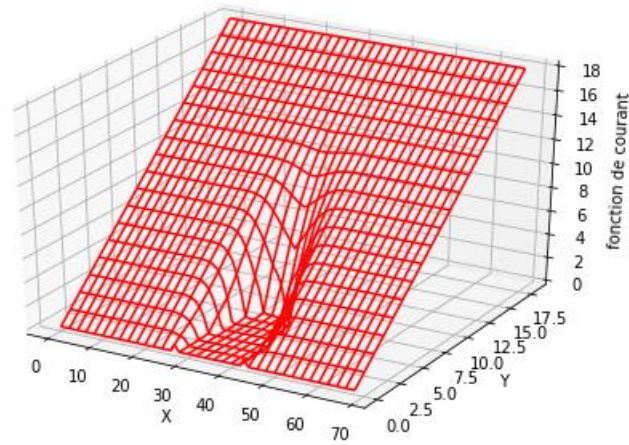
Surface du cylindre :

$$u=0 \quad \frac{\partial u}{\partial y}(cx-x) - \frac{\partial u}{\partial x}y=0$$

## 2- La recherche des expressions des forces exercées sur l'aile par différentes méthodes

### ❖ Résultats

On obtient les courbes suivantes

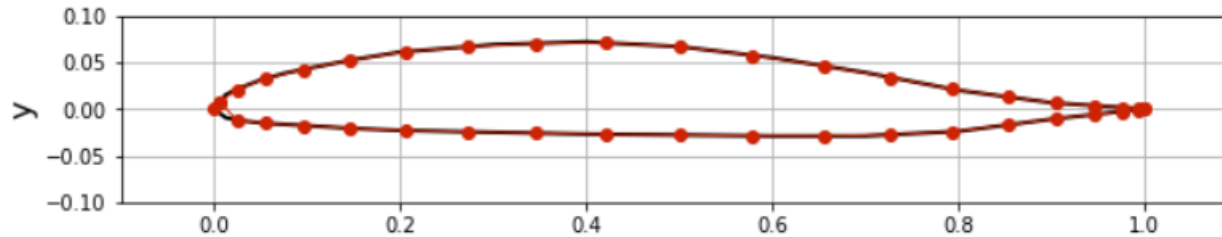


## 2- La recherche des expressions des forces exercées sur l'aile par différentes méthodes

### ❖ Deuxième tentative de résolution numérique

Vue la difficulté dans l'implémentation des conditions aux limites pour la forme d'une aile, on utilise une deuxième approche qui utilise la condition de Kutta déjà énoncée

Discrétisation de la géométrie de l'aile



L'écoulement est tangent à l'aile



$$\vec{V}_i \cdot \vec{n}_i = 0$$

Condition de Kutta



$$\vec{V}_1 = \vec{V}_n$$

## 2- La recherche des expressions des forces exercées sur l'aile par différentes méthodes

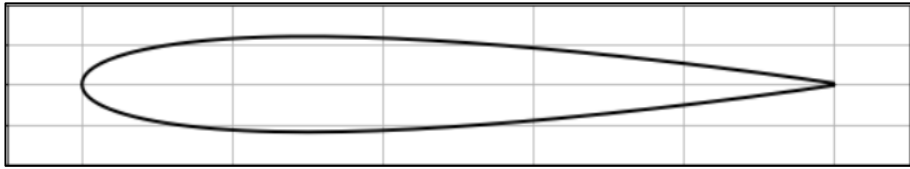
### ❖ Quelques résultats

5-H-10



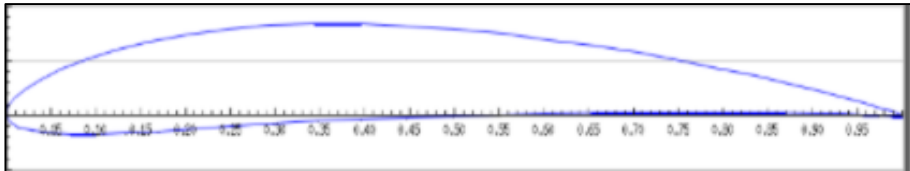
$$\begin{aligned} C_z &= 0,504 \\ C_{xi} &= 0,0054 \end{aligned} \quad \frac{C_z}{C_{xi}} = 93,33$$

naca0012



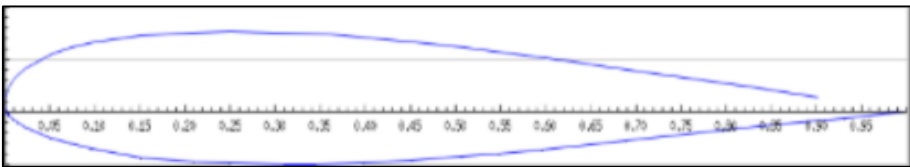
$$\begin{aligned} C_z &= 0,506 \\ C_{xi} &= 0,0068 \end{aligned} \quad \frac{C_z}{C_{xi}} = 78,09$$

naca4409



$$\begin{aligned} C_z &= 0,925 \\ C_{xi} &= 0,0181 \end{aligned} \quad \frac{C_z}{C_{xi}} = 51,10$$

boeing737

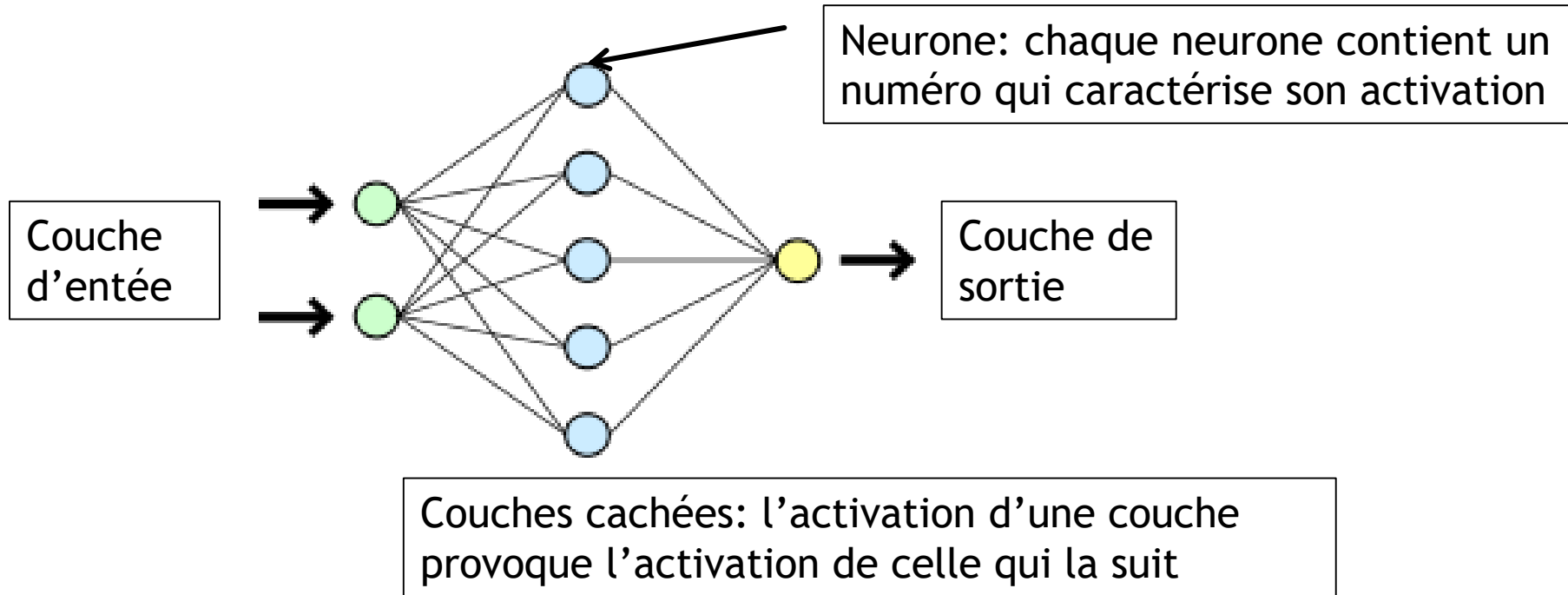


$$\begin{aligned} C_z &= 0,607 \\ C_{xi} &= 0,0127 \end{aligned} \quad \frac{C_z}{C_{xi}} = 47,80$$



### 3- La recherche de la forme optimale par l'apprentissage statistique

#### ❖ Réseau de neurones



L'activation d'une neurone se calcule avec une somme pondérée de l'activation de la couche qui la précède et à laquelle on applique une fonction d'activation :

$$a_{i,j+1} = f(\sum_i p_{i,j} a_{i,j} - b_{i,j+1}) \quad b_{i,j} \text{ est un biais}$$

On peut prendre  $f(x) = \sigma(x) = \frac{1}{1+e^{-x}}$  la fonction sigmoid

### 3- La recherche de la forme optimale par l'apprentissage statistique

Ecriture matricielle:

$$\sigma \left( \begin{pmatrix} p_{1,1,i} & \cdots & p_{n,1,i} \\ \vdots & \ddots & \vdots \\ p_{n,1,i} & \cdots & p_{n,n,i} \end{pmatrix} \begin{pmatrix} a_{i,1} \\ \vdots \\ a_{i,n} \end{pmatrix} - \begin{pmatrix} b_{i,1} \\ \vdots \\ b_{i,n} \end{pmatrix} \right) = \begin{pmatrix} a_{i+1,1} \\ \vdots \\ a_{i+1,n} \end{pmatrix}$$

Apprentissage statistique:

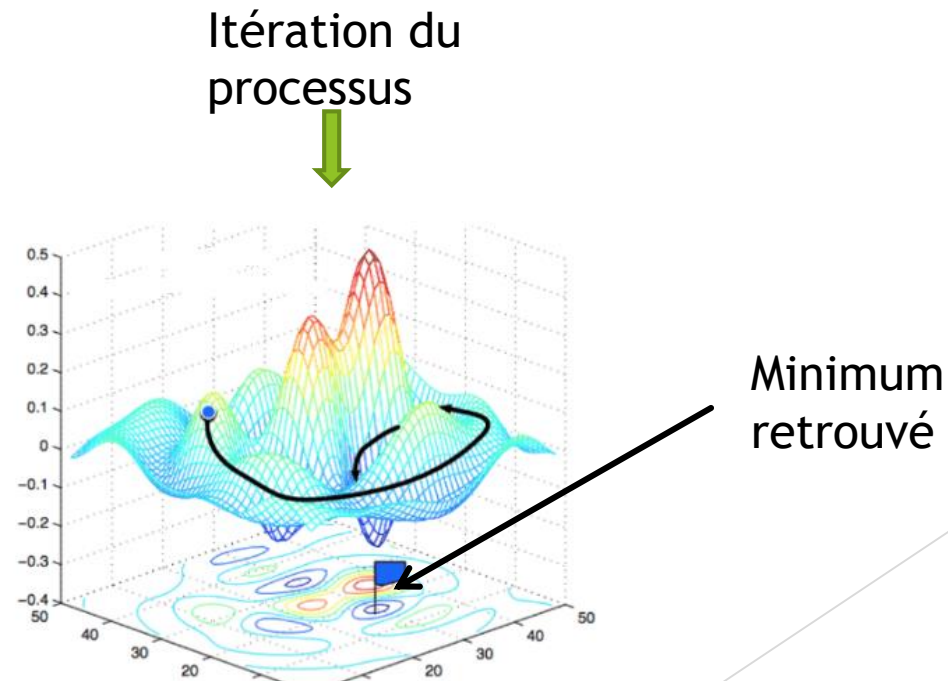
L'optimisation des différents poids et biais pour obtenir le résultat voulu à la sortie

### 3- La recherche de la forme optimale par l'apprentissage statistique

#### ❖ La descente du gradient

le gradient pointe dans la direction de la pente la plus décroissante

➡ pour trouver le minimum d'une fonction, on peut suivre le gradient. on descend avec un pas proportionnel au gradient



### 3- La recherche de la forme optimale par l'apprentissage statistique

#### ❖ **Retropagation**

Dans le réseau de neurones, on veut optimiser une fonction qu'on appelle le cout C  $\longrightarrow$  on cherche le gradient de C

$$\overrightarrow{grad}(C) = \begin{pmatrix} \frac{\partial C}{\partial p_{i,j,k}} \\ \frac{\partial C}{\partial b_{i,j}} \end{pmatrix}$$

Dans notre cas, le cout est calculé par le programme précédent

$$C = \left( \frac{c_{xi}}{c_z} \right)^2$$

### 3- La recherche de la forme optimale par l'apprentissage statistique

#### ❖ Calcul du gradient

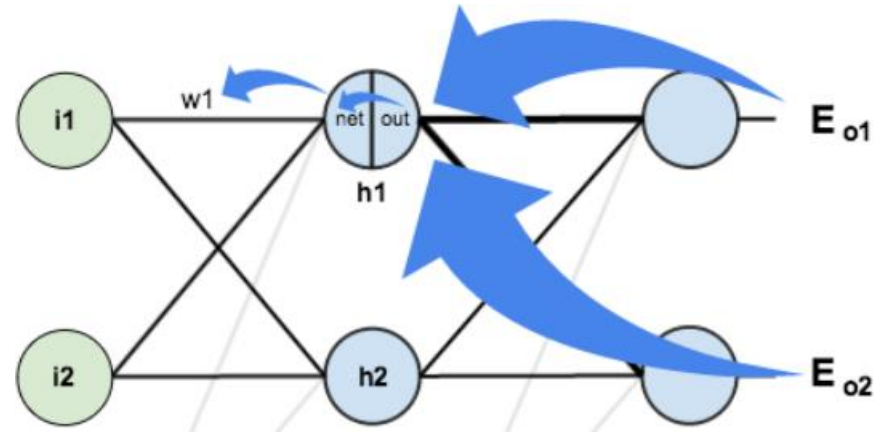
on pose  $z_{i,j,k} = p_{i,j,k} a_{j,k} + b_{i,n}$

$$\frac{\partial C}{\partial p_{i,j,n}} = \frac{\partial z_{i,n}}{\partial p_{i,j,n}} \frac{\partial a_{i,n}}{\partial z_{i,n}} \frac{\partial C}{\partial a_{i,n}}$$

$$\frac{\partial C}{\partial a_{k,n-1}} = \sum_j \frac{\partial z_{j,n}}{\partial a_{k,n-1}} \frac{\partial a_{j,n}}{\partial z_{j,n}} \frac{\partial C}{\partial a_{j,n}}$$

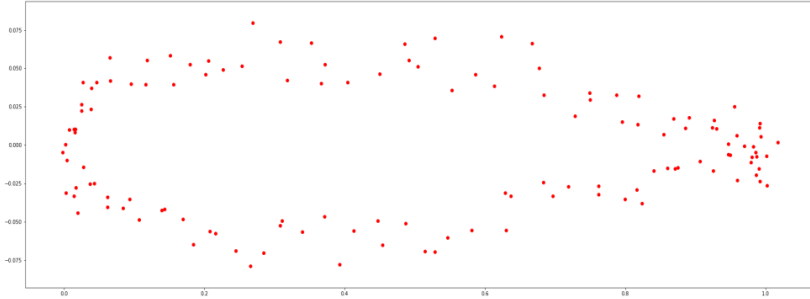
$$\frac{\partial C}{\partial p_{k,d,n-1}} = \frac{\partial z_{k,n-1}}{\partial p_{k,d,n-1}} \frac{\partial a_{k,n-1}}{\partial z_{k,n-1}} \frac{\partial C}{\partial a_{k,n-1}}$$

On repete le processus d'une couche à une autre



### 3- La recherche de la forme optimale par l'apprentissage statistique

#### ❖ Résultat



Cette forme est surprenante, mais ce résultat était prévisible puisque notre étude était manquante (on n'a considéré que la trainée induite) et l'apprentissage statistique donne souvent des résultats étranges

Un pont bâtis à l'aide de l'apprentissage statistique



### 3- La recherche de la forme optimale par l'apprentissage statistique

#### ❖ **Conclusion**

La combinaison la résolution numérique pour la recherche des différentes forces exercées sur l'aile et l'apprentissage statistique peut nous permettre de retrouver une forme optimale pour l'aile. Cette approche peut avoir de grands intérêts industriels

**MERCI POUR  
VOTRE  
ATTENTION**